

(16)

ФИЗИКА

Ф. ГАЛЬПЕРИН, С. ЛАРИН и А. ШИШКОВ

ИССЛЕДОВАНИЕ ВЛИЯНИЯ ВСЕСТОРОННЕГО СЖАТИЯ НА  
НАМАГНИЧЕНИЕ НАСЫЩЕНИЯ ЖЕЛЕЗА ПРИ ТЕМПЕРАТУРЕ  
ЖИДКОГО АЗОТА

(Представлено академиком А. Ф. Иоффе 22 I 1953)

Влияние высоких давлений на магнитные свойства ферромагнетиков еще мало изучено: например, действию всестороннего сжатия на намагничение насыщения чистых металлов посвящены всего лишь две экспериментальные работы <sup>(1, 2)</sup>. В последних непосредственно определяется эффект (изменение магнитного потока  $\frac{1}{\psi_0} \frac{d\psi}{dp}$  через ферромагнетик, см. формулу (2)), вызванный всесторонним сжатием. Изменение же намагничения насыщения вычисляется по формуле

$$\frac{1}{\sigma_0} \frac{d\sigma}{dp} = \frac{1}{\psi_0} \frac{d\psi}{dp} - \frac{1}{3} \chi, \quad (1)$$

где  $\sigma_0$  и  $\psi_0$  — соответственно, намагничение насыщения единицы массы и магнитный поток при давлении  $p_0$ , а  $\sigma$  и  $\psi$  — то же самое под давлением  $p$ ;  $\chi$  — коэффициент сжимаемости.

Из табл. 1 видно, что численные значения эффекта в обеих цитированных работах расходятся как по абсолютной величине, так и по знаку: последний согласно <sup>(1)</sup> отрицателен, а по <sup>(2)</sup> может быть отрицательным или положительным. В настоящей работе, таким образом, предстояло прежде всего уточнить вопрос о знаке эффекта.

Таблица 1

$\frac{1}{\psi_0} \frac{d\psi}{dp} \cdot 10^7$ атм. <sup>-1</sup> *	$\frac{1}{\sigma_0} \frac{d\sigma}{dp} \cdot 10^7$ атм. <sup>-1</sup> **	Условия опыта	Источник
$-4 \pm 1 < 0$ $0 \pm 0,5 < 0$ или $> 0$ $0,24 \pm 0,4 > 0$	$-5,94 \pm 1$ $-1,95 \pm 0,5$ $-1,70 \pm 0,1$ $0,55 \pm 0,25 > 0$	$20^\circ\text{C}, 1500-1900$ эрст. $20^\circ\text{C}, 1300-4000$ эрст. $20^\circ\text{C}, 1800-2000$ эрст. $-196^\circ\text{C}, 1800-2000$ эрст.	<sup>(1)</sup> <sup>(2)</sup> Данная рабо- та Данная рабо- та По формуле <sup>(4)</sup>
	$-1,39 \pm 0,25$ $-1,49$		

\* Вычислено по формуле (2).

\*\* Вычислено по формуле (1);  $\chi = 5,82 \cdot 10^{-7}$  атм.<sup>-1</sup>

Далее, в <sup>(1, 2)</sup> исследования велись при комнатной температуре, тогда как для исключения влияния пара-процесса и др. на искомый эффект желательно иметь низкие температуры. В данной работе эксперимент проведен как при температуре жидкого азота ( $-196^\circ\text{C}$ ),

так и при комнатной температуре ( $20^{\circ}\text{C}$ ). Магнитное поле  $H = 1800$ – $2000$  эрст. Оно достаточно для насыщения образца из армко-железа. Сжимающей средой является газ, не затвердевающий при  $77^{\circ}\text{K}$  и  $2000$  атм. В <sup>(1,2)</sup> для этой цели употребляли масло.

Схема установки дана на рис. 1. Испытуемый образец 1 — точечный стержень из армко-железа длиной  $570$  мм, диаметром  $5,75$  мм\*, лежит в камере 3 свободно (зазор между ним и внутренними стенками камеры составляет около  $0,2$  мм), что позволяет сжимать образец все-

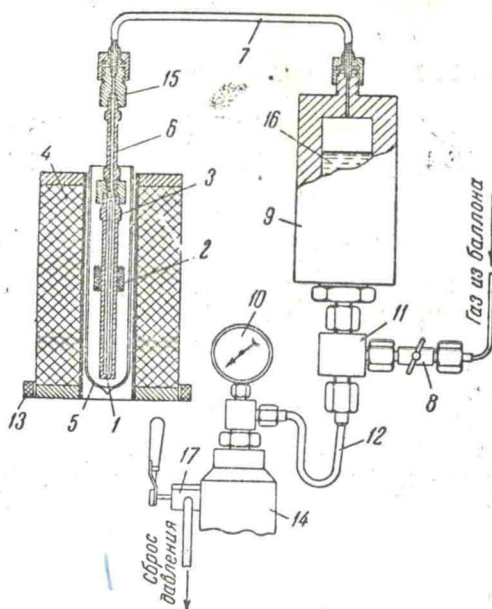


Рис. 1. Схема установки для исследования влияния всестороннего сжатия на намагничение насыщения при низких температурах.  
1 — образец, 2 — измерительная катушка, 3 — камера сжатия из неферромагнитной бронзы БрАЖМ, 4 — намагничающая катушка, 5 — сосуд Дьюара, 6 — переходная трубка, 7 — трубка верхняя, 8 — вентиль газопуска, 9 — цилиндр поджимки, 10 — манометр, 11 — тройник, 12 — трубка нижняя, 13 — компенсирующая катушка, 14 — гидрокомпрессор, 15 — переходник, 16 — трансформаторное масло, 17 — вентиль

сторонне. Высокое давление в камере достигается уменьшением первоначального объема газа в полости установки при нагнетании гидрокомпрессором 14 трансформаторного масла 16 в цилиндр поджимки 9 по трубке 12. Камера с образцом и измерительной катушкой  $K_1$  2, надетой на камеру \*\*, погружена в дьюаров сосуд 5 с жидким азотом.

Принципиальная схема электроизмерительной части установки дана на рис. 2. Намагничающее поле  $H$  внутри намагничающего соленоида  $K_h$  создается постоянным током до  $i_{\max} = 20$  амп;  $H_{\max} = K_i \cdot i_{\max} = 2440$  эрст.

Измерительная цепь состоит из  $K_h$ ,  $K_k$ ,  $R_{sh}$  и  $\Phi L$  (рис. 2).  $K_h$  и  $K_k$  включены навстречу друг другу для устранения помех, связанных с

\* Образец отожжен в водороде при  $1340^{\circ}\text{C}$  в течение 15 мин., затем нагрет в вакууме до  $900^{\circ}\text{C}$ , после чего охлажден вместе с печью.

\*\* В <sup>(2)</sup> измерительная катушка помещена внутрь камеры.

изменением поля при колебании светового зайчика. При колебании светового зайчика в наряду с изменением магнитного момента нити под действием главным образом «сползания» зайчика при обычной градуировкой флюксметра можно при этом поток меняется, с определенной скоростью, с  $20$  и  $-196^{\circ}\text{C}$  используют измерительные катушки, соответственно,  $n_1 = 3960$  и  $n_2 = 3000$  ввиду того, что сопротивление в цепи флюксметра должно быть малым ( $< 30$  ом) при большом количестве витков.

Величина исследуемой вычисляется по формуле:

$$\frac{1}{\psi_0} \frac{d\psi}{dp} \cong \frac{1}{\psi_0} \frac{\Delta\psi}{\Delta p} = \frac{c_\psi}{4\pi I_s S_{\text{обр}} n}$$

где  $\psi_0 = 4\pi I_s S_{\text{обр}}$  максвелл, витков в  $K_h$ ,  $\alpha$  — отклонение метра в делениях,  $\Delta p = 1$  мосфера).

Для исследуемого железа  $I_s = 1690$  гаусс,  $S_{\text{обр}} = 1$  см<sup>2</sup>. Из проведенных 22 измерений получено  $\left(\frac{\alpha}{\Delta p}\right)$ ; по нему, согласно

$$\left(\frac{1}{\psi_0} \frac{\Delta\psi}{\Delta p}\right)$$

и, наконец, согласно (1):

Сравним значение, по формуле для атомного металлов <sup>(3)</sup>:

$$m = 2m_0$$

где  $m_0 = n_d - 2$ ;  $n_d$  — число атомов. Для железа  $n_d = 10^{22}$  атомов на расстояние между атомами

\* Измерения проводятся вводится газ из баллона до давления  $p_0$ . Поджимка 9 нагнетается маслом, на выдержка для установления давления. Затем выдержка соленоида в сеть постоянного тока для создания магнитного поля. Ток в катушке  $R_{sh}$  компенсируется изменением тока в наружной обмотке вентиля 17. При этом давление падает с  $p_0$  на  $p_f$ . При этом давление падает с  $p_0$  на  $p_f$ . Скорость можно пренебречь и магнитного потока через обра-

ле,  $H = 1800$  армко-железа, при  $77^{\circ}\text{K}$

ци 1 — точечный, 75 мм\*, лежит на стенками ка- образец все-

изменением поля при колебаниях тока в  $K_n$ . Реостат  $R_w$  служит для настройки компенсации. Исследуемый эффект измеряется по отклонению светового зайчика флюксметра. При медленном снятии давления, изряду с изменением магнитного потока, вызванного падением давления, наблюдается также «сползание» зайчика флюксметра, обусловленное главным образом крутильным моментом нити подвеса. Учет «сползания» зайчика производится обычной градуировкой флюксметра, но при этом поток меняется плавно, с определенной скоростью. При  $-20$  и  $-196^{\circ}\text{C}$  используются разные измерительные катушки (соответственно,  $n_1 = 3960$  и  $n_2 = 6240$  витков) ввиду того, что сопротивление в цепи флюксметра должно быть малым ( $< 30$  ом) при достаточно большом количестве витков в  $K_n$ \*.

Величина исследуемого эффекта вычисляется по формуле:

$$\frac{1}{\psi_0} \frac{d\psi}{dp} \approx \frac{1}{\psi_0} \frac{\Delta\psi}{\Delta p} = \frac{c_\psi}{4\pi I_s S_{\text{об}} n} \frac{\alpha}{\Delta p}, \quad (2)$$

где  $\psi_0 = 4\pi I_s S_{\text{об}}$  максвелл,  $n$  — число витков в  $K_n$ ,  $\alpha$  — отклонение флюксметра в делениях,  $\Delta p = p_0 - p$  (атмосфера).

Для исследуемого образца из железа  $I_s = 1690$  гаусс,  $S = 0,26 \text{ см}^2$ . Из проведенных 22 измерений найдено  $(\frac{\alpha}{\Delta p})$ ; по нему, согласно (2):

$$\left( \frac{1}{\psi_0} \frac{\Delta\psi}{\Delta p} \right) = (0,55 \pm 0,25) 10^{-7} \text{ атм}^{-1} > 0,$$

и, наконец, согласно (1):  $\frac{1}{\sigma_0} \frac{d\sigma}{dp} = (-1,39 \pm 0,25) 10^{-7} \text{ атм}^{-1}$ .

Сравним значение, полученное по (1), со значением, вычисленным по формуле для атомного магнитного момента чистых ферромагнитных металлов (3):

$$m = 2m_0 + K_1(d_1 - D) \pm K_2(d_2 - D)^*, \quad (3)$$

где  $m_0 = n_d - 2$ ;  $n_d$  — число непарных  $d$ -электронов изолированного атома. Для железа  $n_d = 4$ ,  $K_1 = 5,13$  и  $K_2 = 3,85$  магнетон / кХ;  $d_1$  и  $d_2$  — расстояния между атомом и, соответственно, ближайшими и следую-

\* Измерения проводятся в следующем порядке: 1) Через вентиль 8 в установку вводится газ из баллона до давления  $p_0 = 150$  атм.; вентиль 17 закрыт. 2) В цилиндр поджимки 9 нагнетается масло 16 до давления около 2000 атм. 3) Даётся 10-минутная выдержка для установления температуры. 4) При включенном флюксметре включается соленоид в сеть постоянного тока. При помощи реостатов  $R$  (рис. 2) устанавливается ток для создания поля около 2000 эрст. 5) Включается  $\Phi_L$ ; при помощи  $R_w$  компенсируется изменение внешнего магнитного поля, обусловленное искусственным изменением тока в намагничивающем соленоиде. 6) Медленным поворотом рукоятки вентиля 17 плавно выпускается масло из цилиндра поджимки до давления  $p_0$ . При этом давление падает равномерно со скоростью 1000 атм/мин. При данной скорости можно пренебречь изменением температуры массивного образца. Изменение магнитного потока через образец измеряется по отклонению зайчика флюксметра.

*K has been used  
for key, constant  
compensation, fast  
and coil's late  
changed value  
to C*

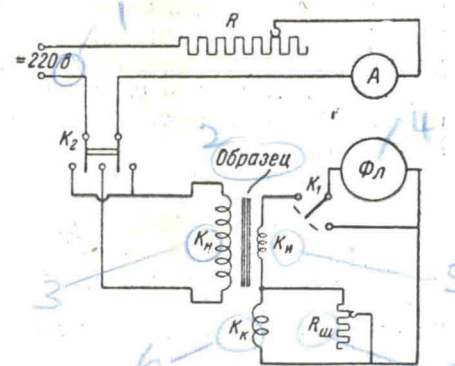


Рис. 2. Принципиальная схема электрической части установки.  $K_n$  — намагничивающая катушка (открытый соленоид с естественным воздушным охлаждением); постоянная  $K$  соленоида = 122 эрст./амп.; внутренний диаметр, длина и область однородности поля соленоида равны, соответственно, 60, 670 и 200 мм.  $K_u$  — измерительная катушка (длина обмотки 160 мм);  $K_k$  — компенсирующая катушка;  $R_w$  — реостат, шунтирующий  $K_k$ ;  $\Phi_L$  — флюксметр типа Грассо с постоянной по потоку  $c_\psi = 380 \pm 5$  максвелл/деление и допустимым внешним сопротивлением  $R_{\text{внешн.}} \leq 30$  ом.

Расстояние до шкалы около 3 м

*I think this  
astrophysics  
should not  
be included*

*This is odd!  
According to 4 it  
was already on.  
I have a feeling  
this should  
be switched off*

щими ближайшими соседями; для железа  $d_1 = 2,478 \text{ кХ}$ ,  $d_2 = 2,86 \text{ кХ}$ .  $D$  — характеристика для каждого переходного металла эмпирическая постоянная; для железа она равна  $2,73 \text{ кХ}$ . Отрицательный знак перед третьим членом (3) берется, если  $d_2 > D$  (как для железа). Подставив в (3) численные значения для железа, найдем, что  $m = 2,23$  магнетона (опыт дает 2,22). Из формулы (3) вытекает следствие: при всестороннем сжатии (уменьшаются  $d_1$  и  $d_2$ )  $m$  должен уменьшаться, а при всестороннем растяжении — увеличиваться.

Известно, что это следствие качественно подтверждается опытами (1, 2, 4). Для количественной оценки эффекта продифференцируем (3). Находим:

$$\frac{1}{\sigma_0} \frac{d\sigma}{dp} = \frac{1}{m} \frac{dm}{dp} = -\frac{1}{3} \chi \frac{1}{m} (K_1 d_1 - K_2 d_2). \quad (4)$$

В (4) принято, что  $\frac{1}{d_0} \frac{\partial d}{\partial p} = -1/3 \chi$ . Подставив в (4) численные значения (см. выше) для железа, найдем  $\frac{1}{\sigma_0} \frac{d\sigma}{dp} = -1,49 \cdot 10^{-7} \text{ атм}^{-1}$ , что удовлетворительно согласуется с данными настоящей работы при температуре жидкого азота (ср. 4-ю и 5-ю строки табл. 1), а с (1) сильно расходится (ср. 1-ю и 5-ю строки табл. 1).

Поступило  
21 I 1953

#### ЦИТИРОВАННАЯ ЛИТЕРАТУРА

- <sup>1</sup> Н. Еберт, А. Кусман, Phys. Z., 38, 437 (1937). <sup>2</sup> Ф. Гальперин, ДАН, 78, 451 (1951); П. Орешкин, Диссертация, МГУ, 1951. <sup>3</sup> Ф. Гальперин, Изв. АН СССР, сер. физ., 13, 574 (1949); ДАН, 88, № 4 (1953). <sup>4</sup> К. Белов, ЖЭТФ, 19, 346 (1949); ДАН, 61, 807 (1948).

#### ИСКЛЮЧЕНИЯ

(ПР.)

При расчете молекул частично зависимые коэффициенты симметрии решают заданные соотношения, степени векторов или используя порядок матриц перемножают между собой образом матрицы.

Правила упрощения вариантах построения механики волны речь идет о том, что показано ниже, более просто.

Пусть между векторами в расчете колебаний

где  $a_i$  — некоторые коэффициенты. Исключение ведут от координат согласно соотношению или, в векторной форме,

\* Следует замечать, что в этом случае не